

Appello di FDI  
del 29/08/2022

Massa anello =  $m$  = massa asta,  
raggio " =  $R$ . Lunghezza " =  $l$   
Centro " =  $C$  " " =  $\bar{OC}$   
anello // piano Oxy asta e piano Oxz  
carico pto Q =  $q > 0$ , costante elastica  
campo elettrico  $E_{ez}$  con  $E$  costante  
con molle tra P e Q =  $k$

(1) Lagrangiana ed equazioni di Lagrange.

- Coordinate libere  $(\theta, \varphi)$  così come sono rappresentate in figure e nelle proiezioni.

- Coordinate dei punti notevoli:

$$C: (l \sin \theta, 0, -l \cos \theta)$$

$$B: \left( \frac{l}{2} \sin \theta, 0, -\frac{l}{2} \cos \theta \right)$$

$$Q: (l \sin \theta + R \cos \varphi, R \sin \varphi, -l \cos \theta) \quad P: (l \sin \theta + R \cos \varphi, 0, 0)$$

- Calcolo dell'energia cinetica

$$\overline{T} = T_{\text{asta}} + T_{\text{anello}}, \text{ dove } T_{\text{asta}} = \frac{1}{6} m l^2 \dot{\theta}^2$$

biamo semplicemente applicato  $T_{\text{asta}} = \frac{1}{2} I_{\text{asta}} \dot{\theta}^2$ , con il  
nostro valore  $I_{\text{asta}} = m l^2 / 3$  dell'inerzia), mentre

$$T_{\text{attorno}} = \frac{1}{2} m \underline{v}_c \cdot \underline{v}_c + \frac{1}{2} I_{\text{attorno}} \dot{\varphi}^2 \text{ per il teorema di König. Siccome } \underline{v}_c = (\ell \dot{\theta} \cos \vartheta, 0, \ell \dot{\theta} \sin \vartheta) \text{ e } I_{\text{attorno}} = mR^2, \text{ otteniamo } T = \frac{1}{6} m \ell^2 \dot{\theta}^2 + \frac{1}{2} m \ell^2 \dot{\theta}^2 + \frac{1}{2} m R^2 \dot{\varphi}^2 = \frac{2}{3} m \ell^2 \dot{\theta}^2 + \frac{1}{2} m R^2 \dot{\varphi}^2$$

- Calcolo dell'energia potenziale

$$U = mg z_B + mg z_C - qE z_Q + \frac{1}{2} k \overline{PQ}^2, \text{ che, andando a sostituire i valori delle coordinate dei punti viste qui con le loro espressioni in funzione delle coordinate libere, ottiene}$$

$$U = -\left(\frac{3}{2}mg - qE\right)\ell \cos \theta + \frac{1}{2}k\ell^2 \cos^2 \theta + \frac{1}{2}kR^2 \sin^2 \varphi$$

- Calcolo delle lagrangiane

Siccome sappiamo che  $L = T - U$ , otteniamo

$$L(\theta, \varphi, \dot{\theta}, \dot{\varphi}) = \frac{2}{3}m \ell^2 \dot{\theta}^2 + \frac{1}{2}m R^2 \dot{\varphi}^2 + \left(\frac{3}{2}mg - qE\right)\ell \cos \theta - \frac{k\ell^2 \cos^2 \theta - kR^2 \sin^2 \varphi}{2}$$

- Calcolo delle equazioni di Lagrange

$$\begin{cases} \frac{d}{dt} \frac{\partial L}{\partial \dot{\theta}} - \frac{\partial L}{\partial \theta} = \frac{4}{3}m \ell^2 \ddot{\theta} + \left(\frac{3}{2}mg - qE\right)\ell \sin \theta - k\ell^2 \sin \theta \cos \theta = 0 \\ \frac{d}{dt} \frac{\partial L}{\partial \dot{\varphi}} - \frac{\partial L}{\partial \varphi} = mR^2 \ddot{\varphi} + kR^2 \sin \varphi \cos \varphi = 0 \end{cases}$$

— 0 —

(2) Configurazioni di equilibrio e studio delle loro stabilità.

Inizialmente, consideriamo il seguente sistema:

$$\begin{cases} \frac{\partial U}{\partial \theta} = \left(\frac{3}{2}m_f - qE\right)l \sin \theta - kl^2 \sin \theta \cos \theta = 0 \\ \frac{\partial U}{\partial \varphi} = kl^2 \sin \varphi \cos \varphi = 0 \Rightarrow \varphi = 0, \pi, \pm \pi/2 \end{cases}$$

La prima eq. del sistema può essere posta nella forma seguente:  $kl^2 \sin \theta \left( \frac{\frac{3}{2}m_f - qE}{kl} - \cos \theta \right) = 0$

$$\Downarrow$$

$$\sin \theta = 0$$

$$\Downarrow$$

$$\theta = 0, \pi$$

$$\Downarrow$$

$$\cos \theta = \frac{\frac{3}{2}m_f - qE}{kl}$$

$$\Downarrow$$

$$\theta = \pm \beta \quad \text{dove } \beta = \arccos \left( \frac{\frac{3}{2}m_f - qE}{kl} \right)$$

$$\text{che è definito sse } \left| \frac{\frac{3}{2}m_f - qE}{kl} \right| \leq 1$$

Riassumendo, abbiamo 16 possibili configurazioni di equilibrio:

$$(\theta, \varphi) \in \left\{ (0, 0), (0, \pi), \left(0, \pm \frac{\pi}{2}\right), (\pi, 0), (\pi, \pi), \left(\pi, \pm \frac{\pi}{2}\right), \left(\pm \beta, 0\right), \left(\pm \beta, \pi\right), \left(\pm \beta, \pm \frac{\pi}{2}\right) \right\},$$

dove le ultime 8 soluzioni di quiete (rispetto a quelle  
secondarie alla formula precedente) esistono  
se e solo se  $\left| \frac{3}{2} \mu g - q\varepsilon \right| / kl \leq 1$ .

Per quanto riguarda lo studio della stabilità,  
è essenziale il calcolo di

$$\text{Hess } U = \begin{pmatrix} \left( \frac{3}{2} \mu g - q\varepsilon \right) l \cos \theta - kl^2(2 \cos^2 \theta - 1) & 0 \\ 0 & kR^2 \cos(2\varphi) \end{pmatrix}$$

Consideriamo ora separatamente tutti i casi  
correspondenti alle varie configurazioni di equilibrio.

- Caso  $(0, \pm \frac{\pi}{2}), (\pi, \pm \frac{\pi}{2})$  e  $(\pm \beta, \pm \frac{\pi}{2})$

In tutti questi 8 casi otteniamo che

$$\text{Hess } U \Big|_{\varphi=\pm\frac{\pi}{2}} = \begin{pmatrix} \left( \frac{3}{2} \mu g - q\varepsilon \right) l \cos \theta - kl^2(2 \cos^2 \theta - 1) & 0 \\ 0 & -kR^2 \end{pmatrix}$$

Siccome uno dei due autovalori (cioè quello  
che appare sulla diagonale in basso a destra)  
è sicuramente negativo, allora tutti questi  
casi saranno sicuramente INSTABILI.

- Caso  $(\theta, \psi) = (0, 0), (0, \pi)$

$$\text{Hess } U \Big|_{\begin{array}{l} \theta=0 \\ \psi=0, \pi \end{array}} = \begin{pmatrix} \left(\frac{3}{2}\mu g - qE\right)\ell - k\ell^2 & 0 \\ 0 & kR^2 \end{pmatrix}$$

- Sottocaso  $\left(\frac{3}{2}\mu g - qE\right)/k\ell > 1$ , allora  
abbiamo 2 autoval. pos.  $\Rightarrow$  p.ti di equil. STABILI
- Sottocaso  $\left(\frac{3}{2}\mu g - qE\right)/k\ell < 1$ , allora  
1 autoval. pos. e 1 neg.  $\Rightarrow$  p.ti di equil. INSTAB.
- Sottocaso  $\frac{\frac{3}{2}\mu g - qE}{k\ell} = 1$ , allora 1 autovel.  
è pos. e l'unico  $\Rightarrow$  serve un SUPPLEMENTO di INDAGI.

- Caso  $(\theta, \psi) = (\pi, 0), (\pi, \pi)$

$$\text{Hess } U \Big|_{\begin{array}{l} \theta=\pi \\ \psi=0, \pi \end{array}} = \begin{pmatrix} -\left(\frac{3}{2}\mu g - qE\right)\ell - k\ell^2 & 0 \\ 0 & kR^2 \end{pmatrix}$$

- Sottocaso  $\left(\frac{3}{2}\mu g - qE\right)/k\ell < -1$ , allora

abbiamo 2 autovel. pos.  $\Rightarrow$  p.ti di equil. STABILI

- Sottocaso  $\left(\frac{3}{2}mg - q\varepsilon\right)/kl > -1$ , allora  
1 autovel. pos. e 1 neg.  $\rightarrow$  p.ti di equil. INSTAB.
- Sottocaso  $\left(\frac{3}{2}mg - q\varepsilon\right)/kl = -1$ , allora 1 autovel.  
è pos. e l'unico  $\rightarrow$  serve un SUPPLEMENTO di INDAGI.
- Caso  $(\theta, \psi) = (\pm\beta, 0), (\pm\beta, \pi)$

$$\begin{aligned} \text{Hess } U \Big|_{\begin{array}{l} \theta = \pm\beta \\ \psi = 0, \pi \end{array}} &= \begin{pmatrix} \left(\frac{3}{2}mg - q\varepsilon\right) l \cos\beta - kl^2(2\cos^2\beta - 1) & 0 \\ 0 & +kR^2 \end{pmatrix} \\ &= \begin{pmatrix} \left(\frac{3}{2}mg - q\varepsilon\right)^2 \cdot \frac{1}{k} - 2\left(\frac{3}{2}mg - q\varepsilon\right)^2 \cdot \frac{1}{k} + kl^2 & 0 \\ 0 & kR^2 \end{pmatrix} \\ &= \begin{pmatrix} kl^2 \left[ 1 - \left( \frac{3}{2}mg - q\varepsilon \right)^2 / (kl)^2 \right] & 0 \\ 0 & kR^2 \end{pmatrix} \end{aligned}$$

- Sottocaso  $\left|\left(\frac{3}{2}mg - q\varepsilon\right)/kl\right| < 1$ , allora  
abbiamo 2 autovel. pos.  $\Rightarrow$  p.ti di equil. STABILI

- Sottocasi  $\left(\frac{3}{2}\mu_F - qE\right)/kT = \pm 1$ , allora 1 aut.vol.  
è pos. e l'urbo  $\rightarrow$  serve un **SUPPLEMENTO di INDAGINE**.
- Ovviamente i sottocasi con  $\left(\frac{3}{2}\mu_F - qE\right)/kT > 1$   
non vanno considerati, perché  $\nexists$  i p.ti di equil.  
 $(\theta, \varphi) = (\pm\beta, 0), (\mp\beta, \pi)$  nell'ambito di questa assunzione.

- Studiamo ora a parte le situazioni che necessitano un supplemento di indagine.

Osserviamo che, quando  $\left(\frac{3}{2}\mu_F - qE\right)/kT = 1$ ,  
allora  $\beta = 0$ , quindi  $(\pm\beta, 0), (\mp\beta, \pi)$  coincidono (risp.) con  $(\pi, 0), (\pi, \pi)$ .  
Inoltre, quando  $\left(\frac{3}{2}\mu_F - qE\right)/kT = -1$ , allora  $\beta = \pi$ ,  
quindi  $(\pm\beta, 0), (\mp\beta, \pi)$  coincidono rispettivamente con  
 $(\pi, 0), (\pi, \pi)$ .

Le situazioni di "equilibrio critico" sono quindi 4, ma  
siccome il potenziale  $U(\theta, \varphi)$  è della forma  $U(\theta, \varphi) = f(\theta) + g(\varphi)$   
allora la stabilità dei cosi critici non dipende da  $\varphi$ ;  
di conseguenza, le situazioni da studiare si riducono a 2  
solo.

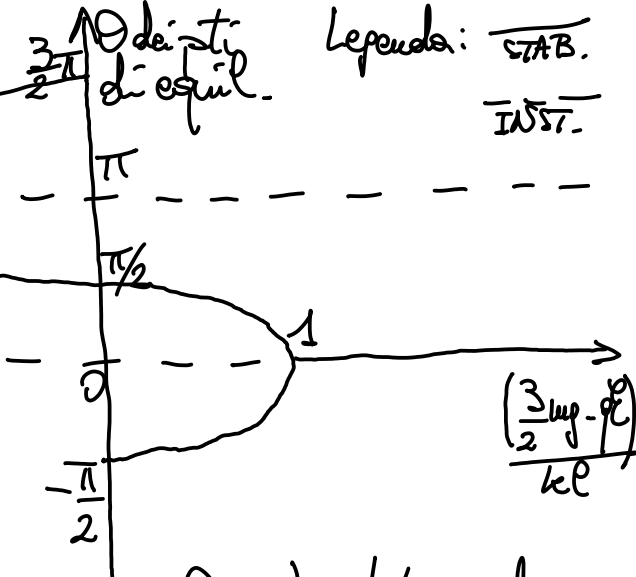
Il riassunto dei risultati riguardo alle stabilità (che possiamo apprezzare nel grafico qui accanto)

risulta che in corrispondenza ai due "così critici"

abbiamo la tipica biforcazione a forchetta di un punto di equilibrio stabile. Questo ci induce a congetturare che tanto  $(0,0), (0,\pi)$ , quando  $\left(\frac{3}{2} \text{kg} - q\epsilon\right)/kl = 1$ , quanto  $(\pi,0), (\pi,\pi)$ , quando  $\left(\frac{3}{2} \text{kg} - q\epsilon\right)/kl = -1$ , siano punti di equilibrio stabili.

Per verificarlo, ricordiamo che  $U(\theta, \varphi) = f(\theta) + g(\varphi)$ , dove  $f: \mathbb{T} \rightarrow \mathbb{R}$  e  $g: \mathbb{T} \rightarrow \mathbb{R}$ . Ci limitiamo a studiare  $f(\theta)$ .

Nel caso  $\left(\frac{3}{2} \text{kg} - q\epsilon\right)/kl = +1$ , osserviamo che dei due punti stazionari (cioè per  $\theta$  in corrisp a  $0, \pi$ ) uno dei due, cioè  $\pi$ , è sicuramente p.t. di max. poiché in quel caso la derivata seconda è negativa. Siccome per il th. di Weierstrass in  $\mathbb{T}$  (che è un compatto) devono esistere, il p.t. di minimo che quello di max., allora  $\theta = 0$  non può che essere p.t. di minimo e quindi, per il th. di Lagrange-Dirichlet,  $(0,0)$  e  $(0,\pi)$  sono STABILI.



Nel caso  $\left(\frac{3}{2}m\dot{\varphi} - q\dot{\vartheta}\right)/k\ell = -1$ , è sufficiente ripetere lo stesso ragionamento per concludere che  $(\pi, 0)$  e  $(\pi, \pi)$  sono STABILI.

(3A) Si pone ora la molla in modo da collegare  $Q$  alla sua proiezione  $Q_x$  sul piano orizzontale  $Oxy$ . Si determinino le fluttazioni e le eq. di fluttuazione che descrivono questo nuovo sistema meccanico.

Per questo nuovo problema, l'energia potenziale si supplementa in modo tale che scompare il contributo dovuto all'azione della molla in direzione parallela all'asse  $y$ , quindi ora

$$U = -\left(\frac{3}{2}m\dot{\varphi} - q\dot{\vartheta}\right)\ell \cos\theta + \frac{1}{2}k\ell^2 \cos^2\theta$$

e la lagrangiana diventa

$$L(\theta, \varphi, \dot{\theta}, \dot{\varphi}) = \frac{2}{3}m\ell^2\dot{\theta}^2 + \frac{1}{2}mR^2\dot{\varphi}^2 + \left(\frac{3}{2}m\dot{\varphi} - q\dot{\vartheta}\right)\ell \cos\theta - \frac{1}{2}k\ell^2 \cos^2\theta.$$

Per definizione, la Hamiltoniana è data da

$$H(P_\theta, P_\varphi, \dot{\theta}, \dot{\varphi}) = P_\theta \dot{\theta} + P_\varphi \dot{\varphi} - L(\theta, \varphi, \dot{\theta}, \dot{\varphi}) \quad \begin{cases} \dot{\theta} = \dot{\theta}(P_\theta) \\ \dot{\varphi} = \dot{\varphi}(P_\varphi) \end{cases},$$

dove  $P_\theta = \frac{\partial L}{\partial \dot{\theta}} = \frac{4}{3}m\ell^2\dot{\theta}$  ( $\Rightarrow \dot{\theta} = \frac{3}{4}\frac{P_\theta}{m\ell^2}$ ) e  $P_\varphi = \frac{\partial L}{\partial \dot{\varphi}} = mR^2\dot{\varphi}$  ( $\Rightarrow \dot{\varphi} = \frac{P_\varphi}{mR^2}$ ). Se ne deduce che

$$H(P_0, P_\varphi, \theta, \varphi) = \frac{3}{8} \frac{\dot{P}_\theta^2}{m\ell^2} + \frac{1}{2} \frac{\dot{P}_\varphi^2}{mR^2} - \left( \frac{3}{2} \mu p - q\varepsilon \right) P_\theta \cos \theta + \frac{k\ell^2}{2} \cos^2 \theta$$

Possiamo quindi scrivere le eq. di Hamilton, cioè

$$\dot{P}_\theta = -\frac{\partial H}{\partial \theta} = -\left( \frac{3}{2} \mu p - q\varepsilon \right) P_\theta \sin \theta + k\ell^2 \sin \theta \cos \theta$$

$$\dot{P}_\varphi = -\frac{\partial H}{\partial \varphi} = 0 \quad \rightarrow P_\varphi \text{ è una costante del moto.}$$

$$\dot{\theta} = \frac{3}{4} \frac{P_\theta}{m\ell^2}$$

$$\dot{\varphi} = \frac{P_\varphi}{mR^2}$$

Ovviamente anche la  $H$  è una funzione del tempo, ma è una costante del moto, visto che il contributo dovuto a  $P_\varphi$  è separabile, allora osserviamo che anche l'energia

$$E_\theta = \frac{3}{8} \frac{\dot{P}_\theta^2}{m\ell^2} - \left( \frac{3}{2} \mu p - q\varepsilon \right) P_\theta \cos \theta + \frac{k\ell^2}{2} \cos^2 \theta$$

è una costante del moto.

(3B) Si risolvano le eq. del moto con il metodo delle quadrate.

Detti  $T_z$  e  $T_\theta$ , rispettivamente, il periodo di rotazione e quello di oscillazione dell'asta attorno alla posizione verticale ascendente. Si verifichi che esistono valori per cui il rapporto  $T_z/T_\theta$  diventa piccolo o piacere.

Allo scopo di integrare per quadrature le eq. del moto è conveniente scrivere le due leggi di conservazione separatamente e in funzione delle velocità generalizzate, cioè nella forma

$$\int mR^2 \dot{\psi} = P_\psi \quad (= costante)$$

$$\left\{ \frac{2}{3}m\ell^2 \dot{\theta}^2 + f(\theta) = E_\theta, \text{ dove } f(\theta) = -\left(\frac{3}{2}mg - qE\right)\rho \cos\theta + \frac{k\ell^2}{2} \cos^2\theta \right.$$

la prima legge di conservazione descrive un moto rotatorio con velocità angolare uniforme, quindi

$$\dot{\psi} = \frac{P_\psi}{mR^2} \rightarrow \psi(t) = \psi(0) + \frac{P_\psi}{mR^2} t$$

$$\Rightarrow T_2 = \frac{2\pi}{\dot{\psi}} = 2\pi \frac{mR^2}{P_\psi} = \text{costante}$$

La soluzione per quadrature del problema di meccanica 1D descritto dalla seconda legge di conservazione, si ottiene con il solito metodo:

$$t - t_0 = \pm \int_{\theta_0}^{\theta} \frac{d\psi}{\sqrt{(E_\theta - f(\psi)) / \left(\frac{2}{3}m\ell^2\right)}},$$

dell'asta

Conseguentemente, il periodo di oscillazione tra due estremi  $\theta_-$  e  $\theta_+$  sarà dato da

$$T_0 = 2 \int_{\theta_-}^{\theta_+} \frac{d\psi}{\sqrt{(E_\theta - f(\psi)) / \left(\frac{2}{3}m\ell^2\right)}}.$$

Per verificare che esistono moti per cui  $T_z/T_0 < \varepsilon$ , comunque preso  $\varepsilon > 0$  (piccolo o piacere), è però conveniente riferirsi alle piccole oscillazioni (perché è assai più semplice).

Cominciamo ad osservare che (per quanto discusso al precedente punto (2)) possono avere piccole oscillazioni attorno alla verticale ascendente (individuata da  $\theta = \pi$ ) solo se  $\theta = \pi$  è un punto di equilibrio stabile, quindi se  $\left(\frac{3mg - qE}{2} + \frac{1}{k}\right) / k \leq -1$ .

Sappiamo che, nel limite di piccole oscillazioni, avremo  $T_0 = 2\pi \sqrt{\frac{2ml^2/3}{f''(\pi)}} = 2\pi \sqrt{\frac{2ml^2/3}{kE^2 \left( \frac{\frac{3mg - qE}{2}}{k} + 1 \right)}}$

Siccome  $\lim_{\frac{3mg - qE}{2} \rightarrow -1^-} T_0 = +\infty$ , allora si

comprende facilmente che è sufficiente regolare il campo elettrico  $E$  in modo tale che  $\frac{3mg - qE}{kE}$  sia inferiore a  $-1$  e prossimo proprio a  $-1$ , al fine di rendere  $T_0$  grande o piacere e,

quindi,  $T_z/T_0$  piccolo o piacere.